

소결 분위기가 $(1-x)CaTiO_3-xLaAlO_3$ 계의 마이크로파 유전특성에 미치는 영향

여동훈* · 김현재* · 문종하

전남대학교 무기재료공학과

*한국과학기술연구원 세라믹스부

(1997년 2월 13일 접수)

The Effect of Sintering Atmosphere on the Microwave Dielectric Properties of $(1-x)CaTiO_3-xLaAlO_3$ System

Jong Ha Moon, Dong Hun Yeo* and Hyun Jai Kim*

Dept. of Inorg. Mater. Sci. and Eng., Chonnam Nat'l Univ.

*Division of Ceramics, Korea Institute of Science and Technology

(Received Febrary 13, 1997)

요 약

소결분위기(공기, 산소, 질소)가 $(1-x)CaTiO_3-xLaAlO_3$ 의 소결 및 마이크로파 유전특성에 미치는 영향에 관하여 조사하였다. $(1-x)CaTiO_3-xLaAlO_3$ 를 공기중에서 소결할 경우 x가 증가함에 따라 걸보기 밀도는 선형적으로 증가하였으나, 산소와 질소 분위기에서 소결할 경우 Ca(0.99Å)와 Ti(0.6Å)에 비해 평균적으로 이온반경이 작은 La(1.06Å)와 Al(0.5Å)이 고용됨에도 불구하고 소결밀도는 각각 $x>0.5$ 와 $x>0.6$ 영역에서 x가 증가함에 따라 점점 감소하였다. $(1-x)CaTiO_3-xLaAlO_3$ 를 공기중에서 소결할 경우 사방정과 능면정의 두 상이 공존하면서 x가 증가함에 따라 능면정상의 회절피크가 점점 강하여졌으나, 산소와 질소분위기에서 소결할 경우 각각 $x=0.5$ 와 0.6까지는 사방정의 단일상이 안정하게 유지되었고, x가 증가함에 따라 단일상의 pseudo-cubic으로 변태되었다. 한편, 공기중에서 소결할 경우 x가 증가함에 따라 회절피크의 강도가 점점 증가하였으나, 산소와 질소 분위기에서 소결할 경우 회절피크의 강도는 증가($x=0.6$ 까지) 후 감소하였다. $(1-x)CaTiO_3-xLaAlO_3$ 를 공기중에서 소결할 경우 x가 증가함에 따라 비유전상수는 선형적으로 감소하였고, $Q \cdot f_0$ 는 증가하였다. 한편, 산소와 질소분위기에서 소결할 경우 비유전율은 $x=0.5$ 까지는 공기중에서 소결한 경우와 마찬가지로 감소하였으나, $x \geq 0.6$ 영역에서 급격히 증가하였다. $Q \cdot f_0$ 는 $x=0.6$ 까지는 증가하였으나, 그 이상의 조성에서 감소하였다. 공진주파수 온도계수(τ_i)의 변화는 x가 증가함에 따라 소결분위기에 상관없이 같은 거동을 보였다.

ABSTRACT

The effects of sintering atmospheres(air, O₂, N₂) on the sintering and microwave dielectric properties of $(1-x)CaTiO_3-xLaAlO_3$ system was investigated. The sintered density of $(1-x)CaTiO_3-xLaAlO_3$ under air atmosphere increased linearly with increasing x, but it decreased in the range of $x>0.5$ under O₂ atmosphere and $x>0.6$ under N₂ atmosphere in spite of the increment of the smaller La(1.06Å) and Al(0.5Å) ion than Ca(0.99Å) and Ti(0.6Å). In case of the air sintering atmosphere of $(1-x)CaTiO_3-xLaAlO_3$, the two phases of orthorhombic and rhombohedral crystal system were coexisting, and the XRD peak of rhombohedral crystal system was to be higher with increasing x. However, the sintering atmosphere of O₂ and N₂ made the monophasic crystal system of orthorhombic keep up by $x=0.5$ and $x=0.6$, respectively, and it transformed to pseudo-cubic crystal system in $x>0.5$ and $x>0.6$. The XRD peak intensity of $(1-x)CaTiO_3-xLaAlO_3$ was to be gradually higher with increasing x under the air atmosphere of sintering. Whereas, its XRD peak intensity increased till $x=0.6$ but decreased with increasing x in the range of $x>0.6$ under O₂ and N₂ atmosphere. The relative dielectric constant of $(1-x)CaTiO_3-xLaAlO_3$ sintered under air atmosphere decreased linearly and the $Q \cdot f_0$ value increased according as x increased. On the other hand, the relative dielectric constant of $(1-x)CaTiO_3-xLaAlO_3$ under O₂ and N₂ atmosphere decreased in the range of $x \leq 0.5$ with increasing x, but increased rapidly in the range of $x \geq 0.6$. And the $Q \cdot f_0$ value increased till $x=0.6$ but decreased in the range of $x>0.6$ with increasing x. The temperature coefficient of resonant frequency had

no relation to sintering atmosphere.

Key words : *Microwave, Dielectric constant, Temperature coefficient of resonant frequency, Q · f_r, Sintering atmosphere*

1. 서 론

페로브스카이트형 마이크로파 유전체는 유전율은 비교적 낮으나 고주파수에서 높은 Q값을 갖음으로 인해 많은 연구가 이루어지고 있으며, 그 대표적인 화합물로는 Ba(Zn_{1/3}, Ta_{2/3})O₃^{1,2)}, Ba(Zn_{1/3}, Nb_{2/3})O₃³⁾, 그리고 Ba(Mg_{1/3}, Ta_{2/3})O₃^{4,6)} 등이 있다. 페로브스카이트형 유전체의 마이크로파 유전특성을 향상시키기 위해서는 원소를 치환하거나, 결합의 수를 감소, 또는 규칙성(ordering)을 증가시킨다.^{7,8)}

유전율이 170으로 높고, 공진주파수의 온도계수가 800 ppm/°C, 그리고 Q · f_r=가 2,000인 CaTiO₃⁹⁾에 유전율이 22정도로 낮고, 유전손실이 적으며, 공진주파수의 온도계수가 음의 값을 갖는 LaAlO₃가 합성된 (1-x)CaTiO₃-xLaAlO₃ 마이크로파 유전체는 페로브스카이트 구조를 갖으며, 중간 정도의 유전율($\epsilon_r=30\sim50$)과 무부하 Q (Q · f_r=30000~50000)를 갖는 새로운 마이크로파 유전체의 모조성이다. 그러나 (1-x)CaTiO₃-xLaAlO₃ 복합페로브스카이트 유전체는 다른 페로브스카이트 구조의 유전체와는 달리 하나의 단위정에 하나의 A-자리 공공과 산소공공을 함유하고 있기 때문에 분위기소결에 의한 잉여의 결합생성은 마이크로파 유전특성에 크게 영향을 미칠 것으로 생각된다.

본 연구에서는 소결분위기(공기, 산소, 질소)가 (1-x)CaTiO₃-xLaAlO₃의 소결 및 마이크로파 유전특성에 미치는 영향을 조사하였다.

2. 실험 방법

본 실험에서는 산화물을 출발원료로하여 고상반응법에 의해 시편을 제작하였다. 순도 99%이상의 CaCO₃, La₂O₃, TiO₂ 그리고 Al₂O₃를 (1-x)CaTiO₃-xLaAlO₃ ($x=0.3, 0.4, 0.5, 0.6, 0.7, 0.8$)의 조성식에 따라 청량한 후, 알코올과 ZrO₂볼을 사용하여 24시간 동안 혼합하였다. 100°C오븐에서 완전히 건조시킨 후, 1400°C와 1500°C에서 3시간 동안 하소하였다. 하소된 분말을 24시간 동안 2차 분쇄한 후 100°C오븐에서 12시간 동안 건조시켰다. 분말을 직경이 12 mm인 원통형 금형을 이용하여 가성형한 후 자체제작한 CIP(cold isostatic press)를 이용하여 500 kg/cm²으로 성형하였다. 성형된 시편을 상자에 이용하여 1600°C에서 4시간 동안 공기, 산소, 질소

분위기에서 소결하였다. 이때에 승온속도와 냉각속도는 5°C/min이었으며, 기체는 매우 느리게 흘렀다.

소결된 시편의 양면을 SiC 연마지(#1000)로 연마한 후 비이커에서 3시간 동안 끓였다. 시편들을 상온으로 냉각시킨 후 KSL 3114에 의거하여 겉보기 밀도를 측정하였다.

조성과 하소온도의 변화에 따른 상변화를 관찰하기 위하여 Philips 사의 X-선 회절분석장치를 사용하여 3% min의 주사속도로 회절각(2θ) 5°~70°의 범위에서 X선 회절분석을 하였다. 또한 2θ 를 보정하기 위하여 소결시편의 분말과 Si 표준분말을 4:1(무게비)로 청량하여 1% min의 주사속도로 회절각(2θ) 20°~100°의 범위에서 X선 회절분석을 하였으며, 프로그램(Indexing and Least-squares Powder Diffraction Program written by D. E. Appleman and H. T. Evans)을 이용하여 격자상수를 계산하였다.

마이크로파 유전특성을 측정하기 위하여 소결된 시편들의 높이/직경의 비가 0.4~0.5가 되도록 표면을 연마하였다. 준비된 시편을 두 평행 도체판 사이에 넣고 Network Analyzer (HP 8720C)를 사용하여 Hakk-Coleman방법¹⁰⁾으로 TE₀₁₁공진주파수와 삽입손실 그리고 3 dB에서의 대역폭(bandwidth)을 측정하여 유전체의 품질계수(Q)와 비유전율(ϵ_r)을 계산하였다. 공진주파수의 온도계수(τ_t)는 25°C와 80°C에서 공진주파수를 측정하여 다음 식(1)에 의해 계산하였다.

$$\tau_t = \frac{f_{80} - f_{25}}{f_{25}(80 - 25)} \times 10^6 (\text{ppm/ } ^\circ\text{C}) \quad (1)$$

3. 결과 및 고찰

Fig. 1은 하소온도의 변화에 따른 0.7CaTiO₃-0.3LaAlO₃분말의 X-선 회절분석 결과이다. 하소온도가 증가함에 따라 $2\theta=30^\circ, 40^\circ\sim50^\circ$ 부근의 원료 피크들의 강도는 점점 감소하나, $2\theta=50^\circ\sim60^\circ$ 의 중간상 피크의 강도는 점점 증가한다. 삼각형으로 표시된 미반응상과 중간상의 회절피크들은 1400°C에서 완전히 사라지고 페로브스카이트 구조의 단상만이 생성된다. 또한 50°부근의 페로브스카이트 구조의 (040)피크는 중간상이 존재하는 1350°C까지는 분리되어 있으나 1400°C에서 중간상이 사라지면서 피크의 분리 현상도 없어진다. 이러한 현상

들은 사방정구조인 CaTiO_3 와 능면정구조인 LaAlO_3 가 서로 합성되는 과정에서 1350°C까지는 여러가지 상들이 공존하면서 불완전한 페로브스카이트 결정상이 생성되나 1400°C에서 안정화되기 때문으로 생각된다.

$(1-x)\text{CaTiO}_3-x\text{LaAlO}_3$ 의 경우 하소온도는 소결특성에 영향을 미친다. 1100~1400°C에서 하소된 0.7 CaTiO_3 -0.3 LaAlO_3 조성의 성형체를 1600°C에서 1시간 동안 소결한 결과 1350°C이하의 온도에서 하소된 분말의 경우 거의

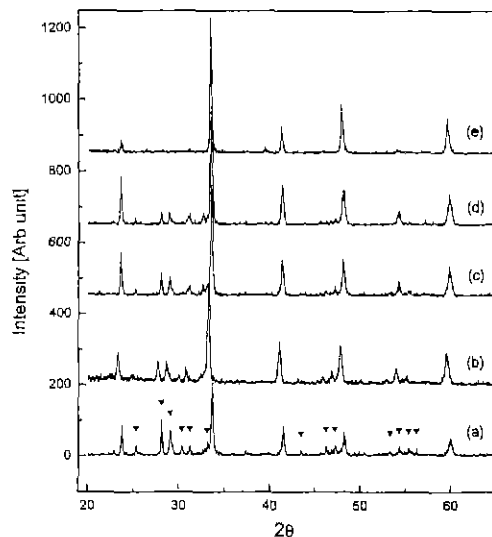


Fig. 1. XRD patterns of $(1-x)\text{CaTiO}_3-x\text{LaAlO}_3$ system calcined at various temperature : (a) 1200°C (b) 1250°C (c) 1300°C (d) 1350°C (e) 1400°C.

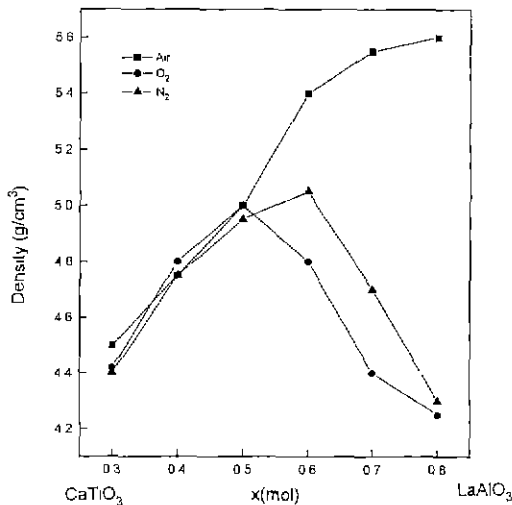


Fig. 2. The apparent densities of $(1-x)\text{CaTiO}_3-x\text{LaAlO}_3$ system sintered at 1600°C for 4h under (a) air (b) O_2 (c) N_2 atmosphere.

치밀화가 이루어지지 않았으나, 1400°C에서 하소된 분말의 경우 98%의 밀도를 나타냈다. 따라서 $(1-x)\text{CaTiO}_3-x\text{LaAlO}_3$ 의 하소조건을 1400°C, 4시간으로 하였다.

Fig. 2는 $(1-x)\text{CaTiO}_3-x\text{LaAlO}_3$ 를 1600°C에서 4시간 동안 공기, 산소, 질소 분위기에서 소결된 시편의 결보기 밀도 변화를 나타낸다. 공기중에서 소결할 경우 LaAlO_3 의 함량이 증가함에 따라 결보기 밀도는 선형적으로 증가한다. 이러한 밀도의 증가는 $\text{Ca}(40.08)$ 와 $\text{Ti}(47.90)$ 에 비해 평균적으로 원자량이 큰 $\text{La}(138.9)$ 와 $\text{Al}(26.98)$ 이 고용되기 때문이다. 한편, 산소 분위기와 질소 분위기에서 소결할 경우 밀도는 각각 $x=0.5(5.0 \text{ g}/\text{cm}^3)$ 과 $x=0.6(5.05 \text{ g}/\text{cm}^3)$ 에서 극대값을 가지며, 이들 조성 이상에서 x 가 증가함에 따라 소결밀도는 점점 감소한다. 그러나 SEM 관찰에 의하면 소결밀도가 감소할지라도 치밀한 미세구조를 보인다. 공기중에서 소결할 경우 x 가 증가함에 따라 $(1-x)\text{CaTiO}_3-x\text{LaAlO}_3$ 의 결보기 밀도는 선형적으로 증가하나, 산소나 질소분위기에서 소결할 경우 결보기 밀도가 감소 후 증가하는 이유는 Fig. 3, 4, 5의 XRD 결과에서 볼 수 있는 것처럼 $(1-x)\text{CaTiO}_3-x\text{LaAlO}_3$ 를 공기중에서 소결할 경우 $\text{Ca}(0.99 \text{ \AA})$ 와 $\text{Ti}(0.6 \text{ \AA})$ 에 비해 평균적으로 이온반경이 작은 $\text{La}(1.06 \text{ \AA})$ 와 $\text{Al}(0.5 \text{ \AA})$ 의 양이 증가함에 따라 동시에 단위정의 크기도 감소하나, 산소와 질소분위기에서 소결할 경우 각각 $x=0.5$ 와 $x=0.6$ 까지는 회절피크들이 고각으로 이

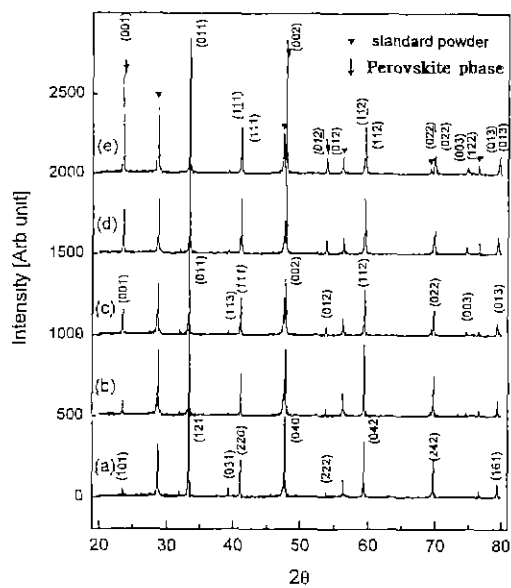


Fig. 3. The XRD patterns of $(1-x)\text{CaTiO}_3-x\text{LaAlO}_3$ system sintered at 1600°C for 4h under air atmosphere : (a) $x=0.3$ (b) $x=0.4$ (c) $x=0.5$ (d) $x=0.6$ (e) $x=0.7$.

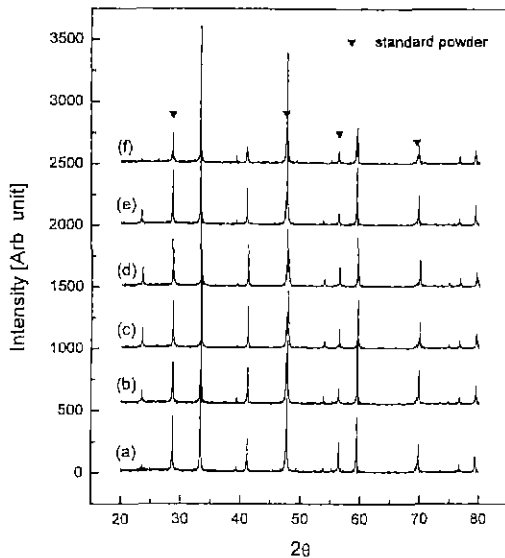


Fig. 4. The XRD patterns of $(1-x)\text{CaTiO}_3\text{-}x\text{LaAlO}_3$ system sintered at 1600°C for 4h under O_2 atmosphere; (a) $x=0.3$ (b) $x=0.4$ (c) $x=0.5$ (d) $x=0.6$ (e) $x=0.7$ (f) $x=0.8$.

동하여 단위정의 크기가 감소하는 반면 $x \geq 0.6$ 과 $x \geq 0.7$ 영역에서 회절피크들은 점차로 이동하여 단위정의 크기가 증가하기 때문이다.

Fig. 3은 1600°C 에서 4시간 동안 공기중에서 소결된 $(1-x)\text{CaTiO}_3\text{-}x\text{LaAlO}_3$ 의 X-선 회절분석 결과이다. $(1-x)\text{CaTiO}_3\text{-}x\text{LaAlO}_3$ 는 전 조성에서 페로브스카이트 구조를 형성하며, x 가 증가함에 따라 Si 표준시료의 피크와 비교할 때 회절피크들이 미세하게 고각으로 이동한다. 이것은 $\text{Ca}(0.99\text{\AA})$ 와 $\text{Ti}(0.6\text{\AA})$ 에 비해 평균적으로 이온반경이 작은 $\text{La}(1.06\text{\AA})$ 와 $\text{Al}(0.5\text{\AA})$ 의 고용양이 증가함에도 불구하고 산소 분위기에서 소결할 경우 $x \leq 0.5$ 영역에서는 회절피크들이 고각으로 이동하여 단위정의 크기가 감소하나 $x \geq 0.6$ 영역에서 회절피크들은 점차로 이동하여 단위정의 크기가 증가한다. 또한 x 가 증가함에 따라 CaTiO_3 의 사방정상의 회절피크가 그대로 유지되면서 화살표로 표시된 능면정상 회절피크의 상태 강도가 증가하며, x 가 0.6 이상일 경우 $2\theta=60^\circ$ 부근에서 사방정상의 (242)면과 능면정상의 (112)면, 그리고 $2\theta=70^\circ$ 부근에서 사방정상의 (042)면과 능면정상의 (022)면이 분리되어 존재하고 있다. 이것은 전형적인 페로브스카이트 구조를 갖는 사방정구조의 CaTiO_3 와 하나의 단위정에 A-자리와 산소공공을 함유하고 있는 LaAlO_3 의 능면정구조가 완전한 고용체를 형성하지 못하고 공존하고 있음을 의미한다.

Fig. 4와 5는 1600°C 에서 4시간 동안 각각 산소와 질소 분위기에서 소결된 $(1-x)\text{CaTiO}_3\text{-}x\text{LaAlO}_3$ 의 X-선 회절분석 결과이다. 산소와 질소 분위기에서 소결된 시편들의 X-선 회절패턴은 서로 비슷하나, 공기중에서 소

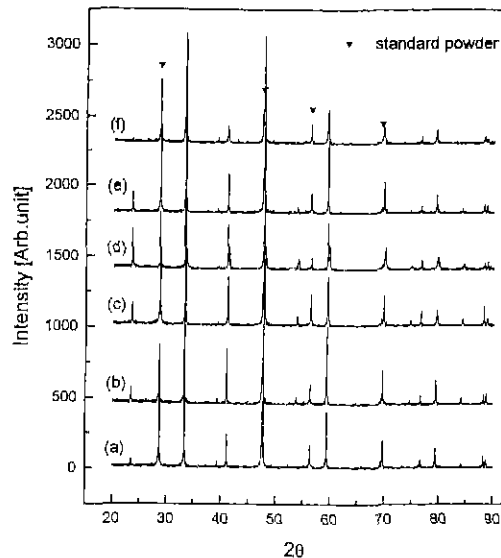


Fig. 5. The XRD patterns of $(1-x)\text{CaTiO}_3\text{-}x\text{LaAlO}_3$ system sintered at 1600°C for 4h under N_2 atmosphere; (a) $x=0.3$ (b) $x=0.4$ (c) $x=0.5$ (d) $x=0.6$ (e) $x=0.7$ (f) $x=0.8$.

결된 시편과는 달름을 관찰할 수 있다. $(1-x)\text{CaTiO}_3\text{-}x\text{LaAlO}_3$ 를 산소와 질소 분위기에서 소결할 경우 공기 분위기에서와 마찬가지로 LaAlO_3 와 CaTiO_3 는 전 조성에서 페로브스카이트 구조를 형성한다. 그러나 위에서 언급한 바와 같이 공기중에서 소결한 경우와는 다르게 LaAlO_3 양이 증가함에 따라, 즉, $\text{Ca}(0.99\text{\AA})$ 와 $\text{Ti}(0.6\text{\AA})$ 에 비해 평균적으로 이온반경이 작은 $\text{La}(1.06\text{\AA})$ 와 $\text{Al}(0.5\text{\AA})$ 의 고용양이 증가함에도 불구하고 산소 분위기에서 소결할 경우 $x \leq 0.5$ 영역에서는 회절피크들이 고각으로 이동하여 단위정의 크기가 감소하나 $x \geq 0.6$ 영역에서 회절피크들은 점차로 이동하여 단위정의 크기가 증가한다. 또한 질소 분위기에서 소결할 경우 $x \leq 0.6$ 영역에서는 회절피크들이 고각으로 이동하여 단위정의 크기가 감소하나 $x \geq 0.7$ 영역에서 회절피크들은 점차로 이동하여 단위정의 크기가 증가한다.

또한, $(1-x)\text{CaTiO}_3\text{-}x\text{LaAlO}_3$ 를 공기중에서 소결할 경우 사방정상과 능면정상이 공존하여 $x \geq 0.6$ 일 경우 사방정상의 피크와 능면정상의 피크가 분리되어 존재하였으나, 산소와 질소 분위기에서 소결된 시편의 경우 피크 분리가 없다. 그리고 공기중에서 소결할 경우 LaAlO_3 의 함량이 증가함에 따라 화살표로 표시된 페로브스카이트 구조의 능면정상 회절피크의 예를 들어 (001)면, 강도가 점점 증가하였다. 그러나 산소와 질소분위기에서 소결할 경우 (001)면의 피크강도는 $x=0.6$ 까지는 증가하였으나 그 이상에서 점점 감소하였다. 한편, $x \leq 0.5$ 에서는

소결분위기에 상관없이 피크강도는 비슷하였으나, 질소 분위기에서 소결된 시편의 경우 산소 분위기에서 소결된 시편에 비해 전조성의 영역에서 회절피크의 강도가 더 높은 경향을 보였다.

$(1-x)\text{CaTiO}_3\text{-}x\text{LaAlO}_3$ 를 공기중에서 소결할 경우 사방정상과 능면정상의 두 상이 공존하면서 LaAlO_3 함량이 증가함에 따라 능면정상의 분율이 점점 증가한다. 그러나 산소와 질소분위기에서 소결할 경우 각각 $x=0.5$ 와 0.6 까지는 사방정상의 단일상이 안정하게 유지되면서 x 가 증가함에 따라 단위정의 크기가 감소하나, 결합구조(A-자리, 산소자리)를 갖는 LaAlO_3 가 주조성이 되면서 $(1-x)\text{CaTiO}_3\text{-}x\text{LaAlO}_3$ 는 능면정구조로 상변태되는 것이 아니라 단일상의 pseudo-cubic으로 변태되고, x 가 증가함에 따라 단위정의 크기가 증가 한다. 이것은 능면정구조의 LaAlO_3 는 이미 하나의 단위정에 하나의 A-자리 공공과 산소 공공을 가지고 있기 때문에 산소 소결분위기의 의한 A-자리 공공 농도의 증가와 질소 소결분위기의 의한 산소 공공 농도의 증가는 능면정을 매우 불안정하게 만들어 불완전한 등방정구조인 pseudo-cubic 구조로 존재하게 한다. 따라서 $\text{Ca}(0.99\text{\AA})$ 와 $\text{Ti}(0.6\text{\AA})$ 에 비해 평균적으로 이온반경이 작은 $\text{La}(1.06\text{\AA})$ 와 $\text{Al}(0.5\text{\AA})$ 의 양이 증가함에도 불구하고 산소와 질소분위기에서 소결할 경우 각각 $x \geq 0.6$ 과 $x \geq 0.7$ 영역에서 회절피크들은 오히려 저각으로 이동하여 단위정의 크기는 증가한다.

한편, $(1-x)\text{CaTiO}_3\text{-}x\text{LaAlO}_3$ 를 산소 분위기에서 소결할 경우 $x=0.5$ 까지 사방정의 단일상이 안정하게 유지되며, 산소 분위기에서 소결된 시편에 비해 회절피크의 강도가 더 높은 이유는 결합능도의 차이때문으로 생각된다. 즉, 동일한 분압이라고 가정할 경우 산소 소결분위기에서 생성된 A-자리 공공의 농도에 비해 질소 분위기에서 소결시 $\text{Ti}^{4+}\rightarrow\text{Ti}^{3+}$ 의 원자가 변화로 인해 생성된 산소공공 농도가 더 적기 때문이다.

Fig. 6은 1600°C에서 4시간 동안 공기, 산소, 질소 분위기에서 소결된 $(1-x)\text{CaTiO}_3\text{-}x\text{LaAlO}_3$ 의 비유전상수이다. 공기중에서 소결된 시편의 경우 x 가 0.3에서 0.8로 증가함에 따라 비유전상수는 45에서 27로 선형적으로 감소한다. 산소와 질소 분위기에서 소결된 시편의 경우 비유전상수는 $x=0.5$ 까지는 공기중에서 소결된 시편의 경우와 마찬가지로 x 가 증가함에 따라 감소하나, $x \geq 0.6$ 영역에서 급격히 증가하여 $x=0.8$ 에서 비유전상수는 58이다.

Fig. 7은 1600°C에서 4시간 동안 공기, 산소, 질소 분위기에서 소결된 $(1-x)\text{CaTiO}_3\text{-}x\text{LaAlO}_3$ 의 $Q \cdot f_0$ 이다. 공기중에서 소결된 시편의 경우 x 가 증가함에 따라 $Q \cdot f_0$ 는 증가하나 조성에 따라 증가속도는 다르다. 즉, $x \leq 0.5$ 영역의 조성에서 x 가 증가함에 따라 $Q \cdot f_0$ 는 급격히 증가하나 $0.5 < x \leq 0.6$ 영역에서는 완만하게 증가한다. 그러나 $x \geq 0.7$ 영역에서 다시 증가율이 높아진다. 산소와 질소분위기에서 소결된 시편의 경우 $Q \cdot f_0$ 는 LaAlO_3 가 증가함에 따라 $x=0.6$ 까지는 증가하나 $x>0.6$ 영역에서 급격히 감소한다. 한편, 질소분위기에서 소결된 시편의 $Q \cdot f_0$ 가 산소분위기에서 소결된 시편에 비해

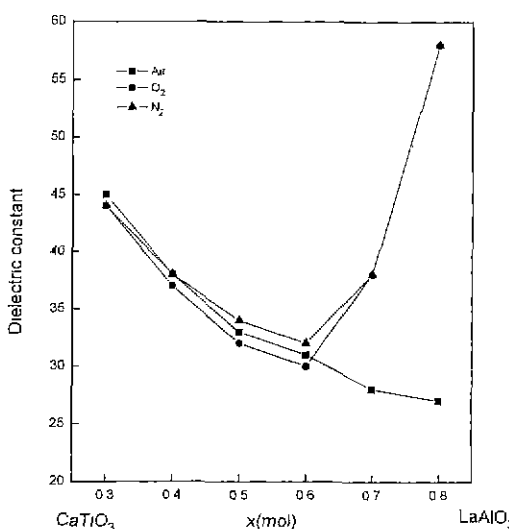


Fig. 6. The relative dielectric constant of $(1-x)\text{CaTiO}_3\text{-}x\text{LaAlO}_3$ system sintered at 1600°C for 4h under (a) air (b) O_2 (c) N_2 atmosphere.

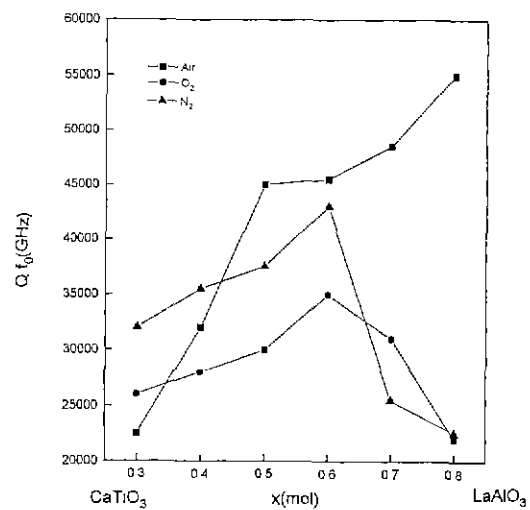


Fig. 7. The $Q \cdot f_0$ of $(1-x)\text{CaTiO}_3\text{-}x\text{LaAlO}_3$ system sintered at 1600°C for 4h under (a) air (b) O_2 and (c) N_2 atmosphere.

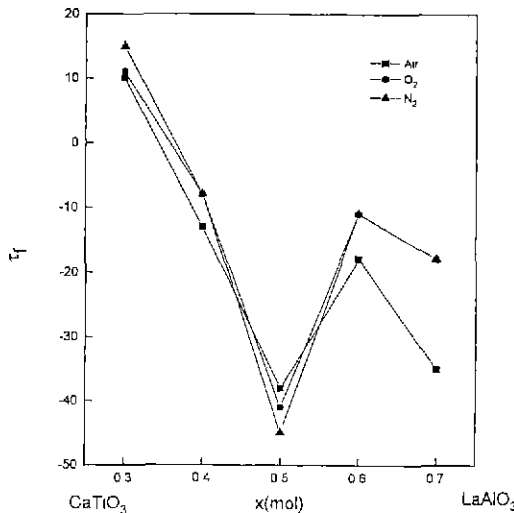


Fig. 8. The temperature coefficient of resonant frequency (τ_r) of $(1-x)\text{CaTiO}_3\text{-}x\text{LaAlO}_3$ system sintered at 1600°C for 4h under (a) air (b) O_2 (c) N_2 atmosphere.

$x \leq 0.6$ 영역에서 더 높음을 관찰할 수 있다.

Fig. 8은 1600°C 에서 4시간 동안 공기, 산소, 질소 분위기에서 소결된 $(1-x)\text{CaTiO}_3\text{-}x\text{LaAlO}_3$ 의 공진주파수의 온도계수(τ_r)이다. 소결분위기에 상관없이 x 의 증가에 따른 공진주파수 온도계수(τ_r)의 변화는 비슷하다. $x \leq 0.5$ 영역의 조성에서 τ_r 는 x 가 증가함에 따라 감소, $0.5 < x \leq 0.6$ 영역에서는 증가, 그리고 $0.6 < x \leq 0.7$ 영역에서는 다시 감소하고 있다. 그러나 조성의 변화에 따른 τ_r 의 변화의 폭은 분위기 소결할 경우 공기중에서 소결할 경우에 비해 더 크며, 특히 산소나 질소 분위기에서 소결할 경우 $x \geq 0.6$ 영역의 조성에서 τ_r 는 공기중에서 소결한 경우에 비해 더 높음을 알 수 있다.

$(1-x)\text{CaTiO}_3\text{-}x\text{LaAlO}_3$ 를 공기중에서 소결할 경우 x 가 증가함에 따라 비유전상수는 선형적으로 감소하고, 산소와 질소분위기에서 소결할 경우 $x=0.5$ 까지는 공기중에서 소결한 경우와 마찬가지로 감소하나 $x \geq 0.6$ 영역에서 급격히 증가하였다. 한편, $Q \cdot f_0$ 는 공기중에서 소결할 경우 조성에 따라 증가속도는 다르나 x 가 증가함에 따라 증가하였으며, 산소와 질소 분위기에서 소결할 경우 $Q \cdot f_0$ 는 x 가 증가함에 따라 $x=0.6$ 까지는 증가하였으나 $x > 0.6$ 영역에서 급격히 감소하였다. 이러한 이유는 Fig. 3의 XRD결과에서 관찰할 수 있는 것처럼 $(1-x)\text{CaTiO}_3\text{-}x\text{LaAlO}_3$ 를 공기중에서 소결할 경우 CaTiO_3 의 결정계인 사방정구조와 LaAlO_3 의 결정계인 능면정구조가 공존하면서 x 가 증가함에 따라 격자상수의 감소와 동시에 사방정상에 비해 비유전상수는 낮으나

$Q \cdot f_0$ 는 높은 능면정상의 양이 증가하여, 혼합율(mixture rule)에 의해 유전상수는 감소되고 $Q \cdot f_0$ 는 증가된 것으로 사료된다. 그러나 Fig. 3, 4, 5의 회절피크의 강도로부터 알 수 있는 것처럼 $(1-x)\text{CaTiO}_3\text{-}x\text{LaAlO}_3$ 를 공기중에서 소결할 경우 x 가 증가함에 따라 능면정상의 회절피크 강도가 계속 증가한다. 그러나 산소나 질소 소결 분위기에서는 x 가 증가함에 따라 각각 $x=0.5$ 와 $x=0.6$ 까지는 Ti 와 Al 의 규칙성이 증가하여 $Q \cdot f_0$ 값이 증가하나, 결합구조인 LaAlO_3 가 주 조성일 경우 각각 A-자리 또는 산소 공공 증가는 오히려 규칙성을 방해하여 격자상수의 증가와 동시에 pseudo-cubic구조를 안정화시키고, 이로인해 회절피크의 강도가 점점 약해진다. 따라서 격자상수의 증가로 인한 쌍극자 모멘트의 증가는 비유전율을 증가시킬 것이며, 규칙성의 감소는 $Q \cdot f_0$ 값을 저하시킬 것이다.

4. 결 론

소결분위기(공기, 산소, 질소)가 $(1-x)\text{CaTiO}_3\text{-}x\text{LaAlO}_3$ 의 소결 및 마이크로파 유전특성에 미치는 영향에 관하여 조사한 결과 다음과 같은 결론을 얻었다.

1. 공기중에서 소결할 경우 x 가 증가함에 따라 겉보기 밀도는 선형적으로 증가하였으나, 산소 분위기와 질소 분위기에서 소결할 경우 $\text{Ca}(0.99\text{\AA})$ 과 $\text{Ti}(0.6\text{\AA})$ 에 비해 평균적으로 이온반경이 작은 $\text{La}(1.06\text{\AA})$ 과 $\text{Al}(0.5\text{\AA})$ 이 고용됨에도 불구하고 겉보기 밀도는 각각 $x=0.5$ 와 $x=0.6$ 에서 극대값을 가졌으며, 이를 조성 이상에서 x 가 증가함에 따라 겉보기 밀도는 점점 감소하였다. 이것은 공기중에서 소결할 경우 x 가 증가함에 따라 격자상수가 감소하여 이론밀도가 증가하나, 산소와 질소 분위기에서 소결할 경우 각각 $x=0.5$ 와 $x=0.6$ 에서부터 격자상수가 증가하여 이론밀도가 작아지기 때문이다.

2. $(1-x)\text{CaTiO}_3\text{-}x\text{LaAlO}_3$ 를 공기중에서 소결할 경우 사방정과 능면정의 두 상이 공존하면서 LaAlO_3 함량이 증가함에 따라 능면정상의 분율이 점점 증가한다. 그러나 산소와 질소 분위기에서 소결할 경우 x 가 증가하여 결합구조(A-자리, 산소자리)를 갖는 LaAlO_3 가 주조성이 되면서 $(1-x)\text{CaTiO}_3\text{-}x\text{LaAlO}_3$ 는 능면정구조로 상변태되는 것이 아니라 단일상의 pseudo-cubic으로 변태된다. 이것은 능면정 구조의 LaAlO_3 는 이미 하나의 단위정에 하나의 A-자리 공공과 산소 공공을 가지고 있기 때문에 산소 소결 분위기에 의한 A-자리 공공 농도와 질소 소결분위기에 의한 산소 공공 농도의 증가는 능면정상을 매우 불안정하게 만들어 불완전한 등방정인 pseudo-cubic구조로 존재하게 하기 때문이다.

3. $(1-x)$ CaTiO₃-xLaAlO₃를 공기중에서 소결할 경우 CaTiO₃의 결정계인 사방정구조와 LaAlO₃의 결정계인 능면정구조가 공존하면서 x가 증가함에 따라 격자상수의 감소와 동시에 사방정상에 비해 비유전상수는 낮으나 Q · f₀는 높은 능면정상의 양이 증가하면서 유전상수는 감소되었고 Q · f₀는 증가되었다. 그러나 $(1-x)$ CaTiO₃-xLaAlO₃를 산소와 질소 분위기에서 소결할 경우 비유전상수는 x=0.5까지는 감소하였으나 x≥0.6영역에서 급격히 증가하였고, Q · f₀는 x가 증가함에 따라 x=0.6까지는 증가하였으나 x>0.6영역에서 급격히 감소하였다. 이러한 현상은 공기중에서 소결할 경우 x가 증가함에 따라 회절피크의 강도는 계속 증가하나, 산소나 질소 소결 분위기에서는 x가 증가하여 결합구조인 LaAlO₃가 주조성일 경우 각각 A-자리와 산소 공공 농도의 증가는 Ti와 Al의 규칙성을 방해하여 격자상수의 증가와 동시에 pseudo-cubic구조를 안정화시키고, 이로인해 회절피크의 강도가 점점 약해지기 때문이다. 이러한 공공의 생성과 동시에 격자상수의 증가로 인한 쌍극자 모멘트의 증가는 비유전율을 증가시키고, 규칙성의 감소는 Q · f₀ 값을 저하시킨다.

4. 소결분위기에 상관없이 x의 증가에 따른 공진주파수 온도계수(τ_3)의 변화는 x≤0.5 영역의 조성에서 감소, 0.5<x≤0.6 영역에서는 증가, 그리고 0.6<x≤0.7 영역에서는 다시 감소하였다.

감사의 글

이 논문은 1995년도 한국학술진흥재단 선진교수 연구비(과제번호 : 04-E-0093)에 의하여 연구되었습니다. 이에 감사를 드립니다.

REFERENCES

- S. Kawasima, M. Nishi, I. Ueda and H. Ouchi, "Ba(Zn_{1/3}Ta_{2/3})O₃ Ceramics with Low Dielectric Loss at Microwave Frequencies," *J. Am. Ceram. Soc.*, **66**(6), 421 (1983)
- S. B. Desu, H. M. O'Bryan, "Microwave Loss Quality of Ba(Zn_{1/3}Ta_{2/3})O₃ Ceramics," *Jpn. J. Appl. Phys.*, **68**(10), 546-51 (1985).
- M. Onoda, J. Kuwata, K. Kaneta, K. Toyama and S. Nomura, "Ba(Zn_{1/3}Ta_{2/3})O₃-Sr(Zn_{1/3}Nb_{2/3})O₃ Solid Solution Ceramics with Temperature-Stable High Dielectric Constant and Low Microwave Loss," *Jpn. J. Appl. Phys.*, **21**(12), 1707 (1982).
- S. Nomura, K. Toyama and K. Kancte, "Ba(Mg_{1/3}Ta_{2/3})O₃ Ceramics with Temperature-stable High Dielectric Constant and Low Microwave loss," *Jpn. J. Appl. Phys.*, **21**(10), L624 (1982)
- Djuniadi A. Sagala and Shigeji Koyasu, "Infrared Reflection of Ba(Mg_{1/3}Ta_{2/3})O₃ Ceramics," *J. Am. Ceram. Soc.*, **76**(10), 2433-36 (1993).
- Oliver Renoult, and Jean-Pierre Bolt, "Sol-Gel Processing and Microwave Characteristics of Ba(Mg_{1/3}Ta_{2/3})O₃ Dielectrics," *J. Am. Ceram. Soc.*, **75**(12), 3337-40 (1992).
- S. Nomura, "Ceramics for Microwave Dielectric Properties," *Ferroelectrics*, **49**, 61-70 (1983).
- K. Kageyama, "Crystal Structure and Microwave Dielectric Properties of Ba(Zn_{1/3}Ta_{2/3})O₃-(Sr,Ba)(Ga_{1/2}Ta_{1/2})O₃ Ceramics," *J. Am. Ceram. Soc.*, **75**(7), 1767-71 (1992).
- R. C. Kell, A. C. Greenham and G. C. E Olds, "High-Permittivity Temperature-Stable Ceramic Dielectrics with Low Microwave Loss," *J. Am. Ceram. Soc.*, **56**(7) 352 (1973)
- Y. Kobayashi and S. Tanaka, Tech. Rept CPM 7233, Inst. Electron & Commun. Eng. Jpn., (1972)